

669, 162, 221.2 : 620, 193, 93

S 41

(41)

溶鋼によるモデル羽口溶損実験について

(高炉羽口の伝熱特性に関する研究(IV))

703/17

八幡製鉄 八幡技研 三塚正志 ○森瀬兵治 福田敬爾

↑-3)

1. 緒言: 前報¹⁾までの報告では、送風羽口や鉱滓羽口の測温結果から、"羽口の溶損は、溶銑と直接接触した時に起る"ことを明らかにした。今回、これを実証するため、2 ton試験転炉の残湯を用いて、モデル羽口の溶損実験を行ない、多くの知見を得たので報告する。

2. 実験方法: 図1のように、50口×5~30t試料に外径1.6シース熱電対(露出型)を4~12対取り付け、装置にセットする。試料の四周を耐火物で断熱し、1次元熱流にする。試料の下面是流水冷却し、上面には30~40ℓの溶銑流を注入する。使用後の溶銑は、強制攪拌している水槽に落下し、粒状に凝固する。溶銑は、3ton取鍋→タンデッショ→試料と流れ、取鍋ストップは、コントロール・ルームで操作する。試料や冷却水の温度は、電磁オシロと6点連続mV計で測定する。(図2参照)。

3. 実験結果: 結果の一部を表1に示す。試料温度は、注入開始後10~20秒でほぼ定常状態に達し、その後は、安定したり、変動したりする(注入時間2~3分)。熱流束は試料内温度勾配から、冷却面温度は外挿によって、熱伝達率は入口水温と表面温度の差から算出した。蒸気の発生や試料外からの入熱のため、水温上昇から算出する熱流束は不正確である。溶損しない場合、試料はほぼ原形を保ち、溶損する場合、冷却水が低流速なら試料全部を溶かし、水路下部(A板)をも貫通するが、高流速なら試料の一部が貫通すると冷却水が噴出し、溶損の拡大は阻止される。

4. 溶損熱流束: 前報²⁾には、文献³⁾から、現状羽口の溶損熱流束を $400 \sim 700 \times 10^4 \text{ Kcal}/\text{m}^2\cdot\text{hr}$ と記述したが、今回の結果によると、冷却水の流速が1.0 m/secの時、溶損直前の安定した熱流束は、 750×10^4 である。それゆえ、現状羽口のように流速が1.0以下の場合には、 700×10^4 以下でも溶損するものと考えられる。一方、No.008, 010のように、流速が増大すると、溶損熱流束は増大する。

5. 試料厚みと溶損: 試料が薄くなると、溶銑-冷却水間の熱抵抗が減少するから、同一加熱条件でも、熱流束は増大する。今回の結果によると、12と6mm試料は、20mm試料が溶損しないと7m/secで溶損した。すなわち、羽口肉厚は、溶損と亀裂の両面から検討せねばならない。

6. むすび: 1~2 tonの溶銑を注入するモデル羽口溶損実験から、熱負荷溶損熱流束や溶損機構などに関する知見を得た。

- 1) 三塚、森瀬他: 鉄と鋼, 54('68)3, P51
- 2) 森瀬、三塚他: " " , P52
- 3) 森瀬、三塚他: " 55('69)3, P9
- 4) 日機学会: 沸騰熱伝達('65), 日機学会

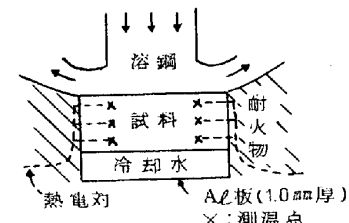


図1 試験部

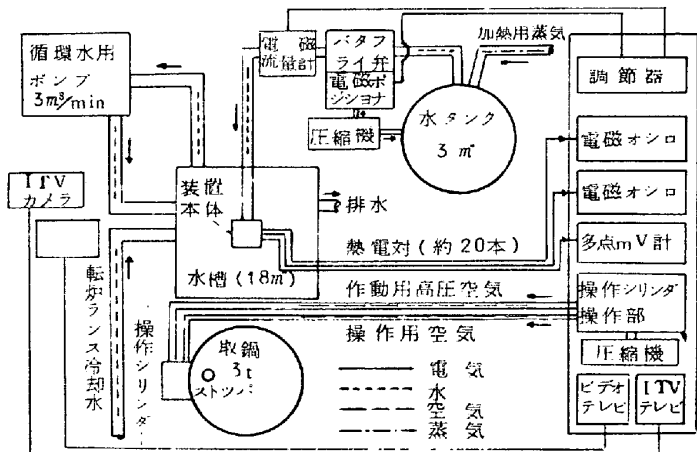


図2 モデル羽口溶損実験装置概略図

表1 羽口溶損防止実験結果

No.	試料寸法mm①	冷却水流速m/s	溶銑注入量ton	取鍋内温度°C	溶損状態	定常熱流束kcal/m²h ^③	冷却面温度°C	熱伝達率kcal/m²h deg
001	20×50	1.0	1.2	1650	なし	770×10^4	180	5.0×10^4
002	"	1.0	1.5	1650	"	650 "	146	5.3 "
003	"	2.0	1.655	"	880 "	167	6.4 "	
004	"	5	1.7	1585	"	620 "	110	7.5 "
005	"	5	2.0	1665	"	740 "	170	5.2 "
006	"	5	1.0	1655	"	970 "	173	6.5 "
007	30×50	1.5	1.615	溶損	750 "	178	7.5 "	
008	12×50	1	1.650	"	1490 "	224	7.6 "	
009	6×50	1.4	1.5	1605	なし	$1400 \sim 1600$ "	—	—
010	"	7	1.5	1665	溶損	—	—	—

(1) 試料は圧延鋼板 (2) 入口水温は27~29°C. (3) 温度の安定している部分の最大値、溶損したものは溶損開始直前の値